

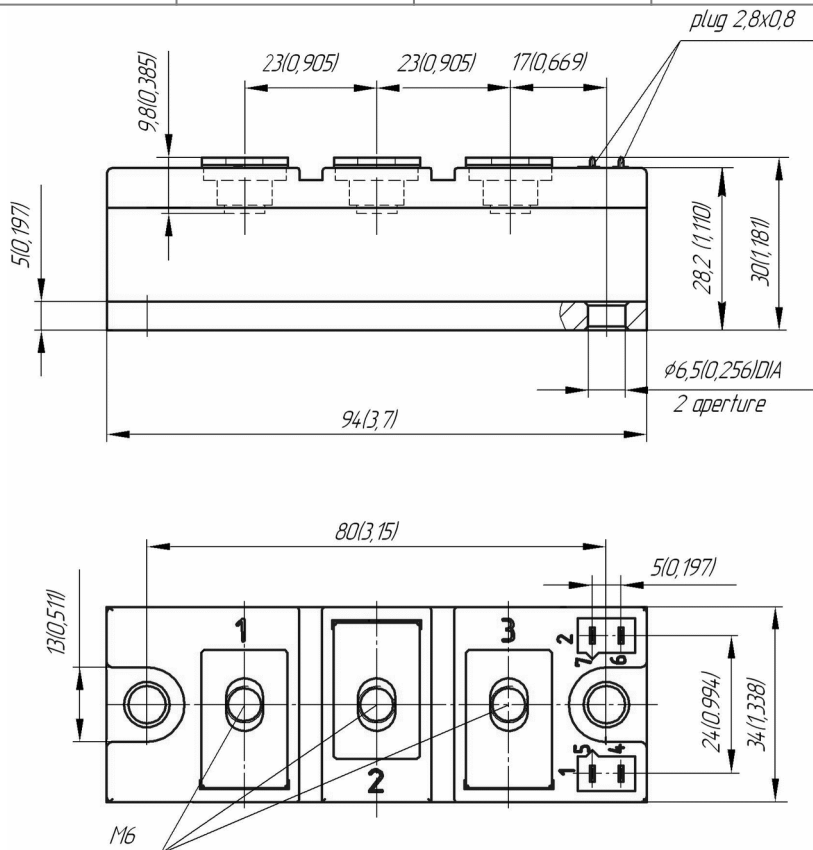


Изолированное основание  
 Корпус промышленного стандарта  
 Упрощенная механическая конструкция,  
 быстрая сборка  
 Прижимная конструкция

## Двухпозиционный Тиристорный Модуль МТх-115-36-F

Средний прямой ток	$I_{TAV}$		115 A	
Повторяющееся импульсное напряжение в закрытом состоянии	$U_{DRM}$		3000...3600 В	
Повторяющееся импульсное обратное напряжение	$U_{RRM}$			
Время выключения	$t_q$		400 мкс	
$U_{DRM}, U_{RRM}, В$	3000	3200	3400	3600
Класс по напряжению	30	32	34	36
$T_j, ^\circ C$	-40...+125			

<b>МТ3</b>		<b>МТ4</b>			



<b>МТ/Д3</b>	<b>МД/Т3</b>		<b>МТ/Д5</b>	


**ПРЕДЕЛЬНО ДОПУСТИМЫЕ ЗНАЧЕНИЯ ПАРАМЕТРОВ**

Обозначение и наименование параметра		Ед. изм.	Значение	Условия измерения	
<b>Параметры в проводящем состоянии</b>					
$I_{TAV}$	Максимально допустимый средний ток в открытом состоянии	А	115	$T_c = 85\text{ }^\circ\text{C}$ ; 180 эл. град. синус; 50 Гц	
$I_{TRMS}$	Действующий ток в открытом состоянии	А	180		
$I_{TSM}$	Ударный ток в открытом состоянии	кА	2.8 3.0	$T_j = T_{j\max}$ $T_j = 25\text{ }^\circ\text{C}$	180 эл. град. синус; $t_p = 10\text{ мс}$ ; единичный импульс; $U_D = U_R = 0\text{ В}$ ; Импульс управления: $I_G = 2\text{ А}$ ; $t_{GP} = 50\text{ мкс}$ ; $di_G/dt \geq 1\text{ А/мкс}$
			3.0 3.5	$T_j = T_{j\max}$ $T_j = 25\text{ }^\circ\text{C}$	180 эл. град. синус; $t_p = 8.3\text{ мс}$ ; единичный импульс; $U_D = U_R = 0\text{ В}$ ; Импульс управления: $I_G = 2\text{ А}$ ; $t_{GP} = 50\text{ мкс}$ ; $di_G/dt \geq 1\text{ А/мкс}$
$I^2t$	Защитный показатель	$A^2c \cdot 10^3$	30 40	$T_j = T_{j\max}$ $T_j = 25\text{ }^\circ\text{C}$	180 эл. град. синус; $t_p = 10\text{ мс}$ ; единичный импульс; $U_D = U_R = 0\text{ В}$ ; Импульс управления: $I_G = 2\text{ А}$ ; $t_{GP} = 50\text{ мкс}$ ; $di_G/dt \geq 1\text{ А/мкс}$
			30 50	$T_j = T_{j\max}$ $T_j = 25\text{ }^\circ\text{C}$	180 эл. град. синус; $t_p = 8.3\text{ мс}$ ; единичный импульс; $U_D = U_R = 0\text{ В}$ ; Импульс управления: $I_G = 2\text{ А}$ ; $t_{GP} = 50\text{ мкс}$ ; $di_G/dt \geq 1\text{ А/мкс}$
<b>Блокирующие параметры</b>					
$U_{DRM}, U_{RRM}$	Повторяющееся импульсное обратное напряжение и повторяющееся импульсное напряжение в закрытом состоянии	В	3000...3600	$T_{j\min} < T_j < T_{j\max}$ ; 180 эл. град. синус; 50 Гц; управление разомкнуто	
$U_{DSM}, U_{RSM}$	Неповторяющееся импульсное обратное напряжение и неповторяющееся импульсное напряжение в закрытом состоянии	В	3100...3700	$T_{j\min} < T_j < T_{j\max}$ ; 180 эл. град. синус; единичный импульс; управление разомкнуто	
$U_D, U_R$	Постоянное обратное и постоянное прямое напряжение	В	$0.6 \cdot U_{DRM}$ $0.6 \cdot U_{RRM}$	$T_j = T_{j\max}$ ; управление разомкнуто	
<b>Параметры управления</b>					
$I_{FGM}$	Максимальный прямой ток управления	А	5	$T_j = T_{j\max}$	
$U_{RGM}$	Максимальное обратное напряжение управления	В	5		
$P_G$	Максимальная рассеиваемая мощность по управлению	Вт	3	$T_j = T_{j\max}$ для постоянного тока управления	
<b>Параметры переключения</b>					
$(di_T/dt)_{crit}$	Критическая скорость нарастания тока в открытом состоянии ( $f = 1\text{ Hz}$ )	А/мкс	200	$T_j = T_{j\max}$ ; $U_D = 0.67 \cdot U_{DRM}$ ; $I_{TM} = 230\text{ А}$ ; Импульс управления: $I_G = 2\text{ А}$ ; $U_G = 20\text{ В}$ ; $t_{GP} = 50\text{ мкс}$ ; $di_G/dt = 2\text{ А/мкс}$	
<b>Тепловые параметры</b>					
$T_{stg}$	Температура хранения	$^\circ\text{C}$	-40...+50		
$T_j$	Температура р-п перехода	$^\circ\text{C}$	-40...+125		
$T_{c\text{ op}}$	Рабочая температура корпуса	$^\circ\text{C}$	-40...+125		
<b>Механические параметры</b>					
$a$	Ускорение	$\text{м/с}^2$	50		

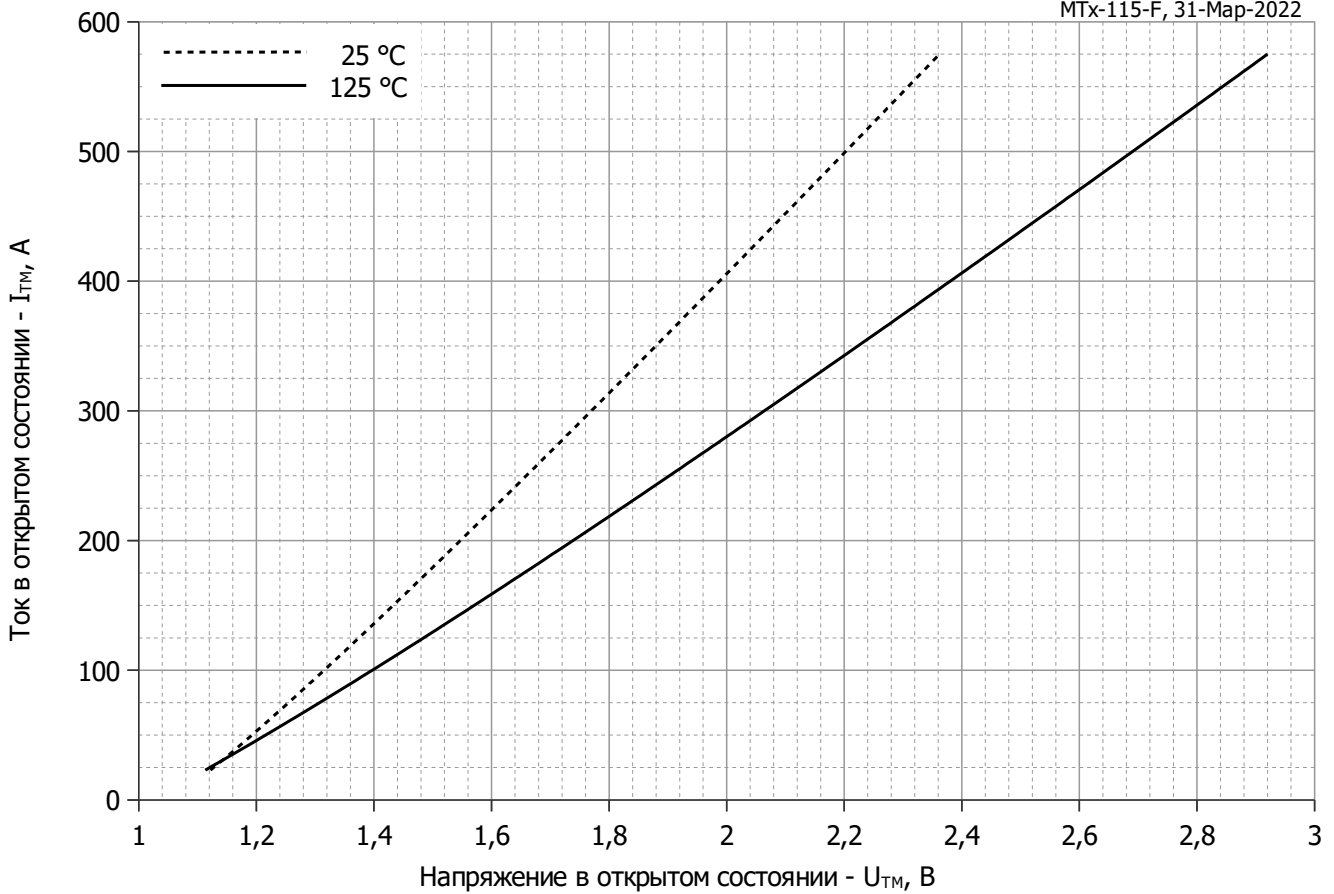
## ХАРАКТЕРИСТИКИ

Обозначение и наименование характеристики		Ед. изм.	Значение	Условия измерения	
<b>Характеристики в проводящем состоянии</b>					
$U_{TM}$	Импульсное напряжение в открытом состоянии, макс	В	2.20	$T_j=25\text{ }^\circ\text{C}; I_{TM}=500\text{ A}$	
$U_{T(TO)}$	Пороговое напряжение, макс	В	1.102	$T_j=T_{j\text{ max}};$ $0.5\pi I_{TAV} < I_T < 1.5\pi I_{TAV}$	
$r_T$	Динамическое сопротивление в открытом состоянии, макс	МОм	3.172		
$I_L$	Ток включения, макс	мА	500	$T_j=25\text{ }^\circ\text{C}; U_D=12\text{ В};$ Импульс управления: $I_G=2\text{ A};$ $t_{GP}=50\text{ мкс}; di_G/dt\geq 1\text{ A/мкс}$	
$I_H$	Ток удержания, макс	мА	250	$T_j=25\text{ }^\circ\text{C};$ $U_D=12\text{ В};$ управление разомкнуто	
<b>Блокирующие характеристики</b>					
$I_{DRM}, I_{RRM}$	Повторяющийся импульсный обратный ток и повторяющийся импульсный ток в закрытом состоянии, макс	мА	70 2.50	$T_j=T_{j\text{ max}}$ $T_j=25\text{ }^\circ\text{C}$	$U_D=U_{DRM}; U_R=U_{RRM}$
$(du_D/dt)_{crit}$	Критическая скорость нарастания напряжения в закрытом состоянии <sup>1)</sup> , мин	В/мкс	200, 320, 500, 1000, 1600, 2000, 2500	$T_j=T_{j\text{ max}};$ $U_D=0.67\cdot U_{DRM};$ управление разомкнуто	
<b>Характеристики управления</b>					
$U_{GT}$	Отпирающее постоянное напряжение управления, макс	В	3.00 2.50 1.50	$T_j=T_{j\text{ min}}$ $T_j=25\text{ }^\circ\text{C}$ $T_j=T_{j\text{ max}}$	$U_D=12\text{ В}; I_D=3\text{ A};$ Постоянный ток управления
$I_{GT}$	Отпирающий постоянный ток управления, макс	мА	400 250 150	$T_j=T_{j\text{ min}}$ $T_j=25\text{ }^\circ\text{C}$ $T_j=T_{j\text{ max}}$	
$U_{GD}$	Неотпирающее постоянное напряжение управления, мин	В	0.60	$T_j=T_{j\text{ max}};$ $U_D=0.67\cdot U_{DRM};$ Постоянный ток управления	
$I_{GD}$	Неотпирающий постоянный ток управления, мин	мА	40.00		
<b>Динамические характеристики</b>					
$t_{gd}$	Время задержки, макс	мкс	1.10	$T_j=25\text{ }^\circ\text{C}; U_D=1500\text{ В}; I_{TM}=I_{TAV};$ $di/dt=200\text{ A/мкс};$	
$t_{gt}$	Время включения, макс	мкс	4.00	Импульс управления: $I_G=2\text{ A}; U_G=20\text{ В};$ $t_{GP}=50\text{ мкс}; di_G/dt=2\text{ A/мкс}$	
$t_q$	Время выключения <sup>2)</sup> , макс	мкс	400	$du_D/dt=50\text{ В/мкс}; T_j=T_{j\text{ max}}; I_{TM}=200\text{ A};$ $di_R/dt=-10\text{ A/мкс}; U_R=100\text{ В};$ $U_D=0.67\cdot U_{DRM}$	
$Q_{rr}$	Заряд обратного восстановления, макс	мкКл	920	$T_j=T_{j\text{ max}}; I_{TM}=I_{TAV};$ $di_R/dt=-5\text{ A/мкс};$ $U_R=100\text{ В}$	
$t_{rr}$	Время обратного восстановления, макс	мкс	31		
$I_{rr}$	Обратный ток восстановления, макс	А	59		
<b>Тепловые характеристики</b>					
$R_{thjc}$	Тепловое сопротивление р-п переход-корпус, макс			180 эл. град. синус; 50 Гц	
	на модуль	$^\circ\text{C/Вт}$	0.0850		
	на позицию	$^\circ\text{C/Вт}$	0.1700		
	на модуль	$^\circ\text{C/Вт}$	0.0800		
$R_{thch}$	Тепловое сопротивление корпус-охладитель, макс			Постоянный ток	
	на модуль	$^\circ\text{C/Вт}$	0.0300		
	на позицию	$^\circ\text{C/Вт}$	0.0600		
	на позицию	$^\circ\text{C/Вт}$	0.0600		

Характеристики изоляции					
U <sub>ISOL</sub>	Электрическая прочность изоляции	кВ	3.00	синус; 50 Гц; действующее значение	t=60 с
			3.60		t=1 с
Механические характеристики					
M <sub>1</sub>	Момент затяжки основания (M6) <sup>3)</sup>	Нм	6.00	Допуск ± 15%	
M <sub>2</sub>	Момент затяжки выводов (M6) <sup>3)</sup>	Нм	6.00	Допуск ± 15%	
m	Масса, макс	г	350		

МАРКИРОВКА	ПРИМЕЧАНИЕ																																														
<table border="1"> <tr> <td>MT</td><td>3</td><td>-</td><td>115</td><td>-</td><td>36</td><td>-</td><td>A2</td><td>H2</td><td>-</td><td>F</td><td>-</td><td>Y2</td> </tr> <tr> <td>1</td><td>2</td><td></td><td>3</td><td></td><td>4</td><td></td><td>5</td><td>6</td><td></td><td>7</td><td></td><td>8</td> </tr> </table> <p>1. Тиристорный модуль (MT)          Тиристорно-диодный модуль (MT/Д)          Диодно-тиристорный модуль (МД/Т)</p> <p>2. Схема включения</p> <p>3. Средний прямой ток, А</p> <p>4. Класс по напряжению</p> <p>5. Критическая скорость нарастания напряжения в закрытом состоянии</p> <p>6. Группа по времени выключения (du<sub>D</sub>/dt=50 В/мкс)</p> <p>7. Тип корпуса (M.F)</p> <p>8. Климатическое исполнение по ГОСТ 15150: Y2</p>	MT	3	-	115	-	36	-	A2	H2	-	F	-	Y2	1	2		3		4		5	6		7		8	<p>1<sup>)</sup> Критическая скорость нарастания напряжения в закрытом состоянии</p> <table border="1"> <thead> <tr> <th>Обозначение группы</th> <th>P2</th> <th>K2</th> <th>E2</th> <th>A2</th> <th>T1</th> <th>P1</th> <th>M1</th> </tr> </thead> <tbody> <tr> <td>(du<sub>D</sub>/dt)<sub>crit</sub>, В/мкс</td> <td>200</td> <td>320</td> <td>500</td> <td>1000</td> <td>1600</td> <td>2000</td> <td>2500</td> </tr> </tbody> </table> <p>2<sup>)</sup> Время выключения (du<sub>D</sub>/dt=50 В/мкс)</p> <table border="1"> <thead> <tr> <th>Обозначение группы</th> <th>H2</th> </tr> </thead> <tbody> <tr> <td>t<sub>q</sub>, мкс</td> <td>400</td> </tr> </tbody> </table> <p>3<sup>)</sup> Резьба должна быть смазана</p>	Обозначение группы	P2	K2	E2	A2	T1	P1	M1	(du <sub>D</sub> /dt) <sub>crit</sub> , В/мкс	200	320	500	1000	1600	2000	2500	Обозначение группы	H2	t <sub>q</sub> , мкс	400
MT	3	-	115	-	36	-	A2	H2	-	F	-	Y2																																			
1	2		3		4		5	6		7		8																																			
Обозначение группы	P2	K2	E2	A2	T1	P1	M1																																								
(du <sub>D</sub> /dt) <sub>crit</sub> , В/мкс	200	320	500	1000	1600	2000	2500																																								
Обозначение группы	H2																																														
t <sub>q</sub> , мкс	400																																														
	Сертифицирован UL, файл № E255404																																														

Содержащаяся здесь информация является конфиденциальной и находится под защитой авторских прав. В интересах улучшения качества продукции, АО «Протон-Электротекс» оставляет за собой право изменять информационные листы без уведомления.



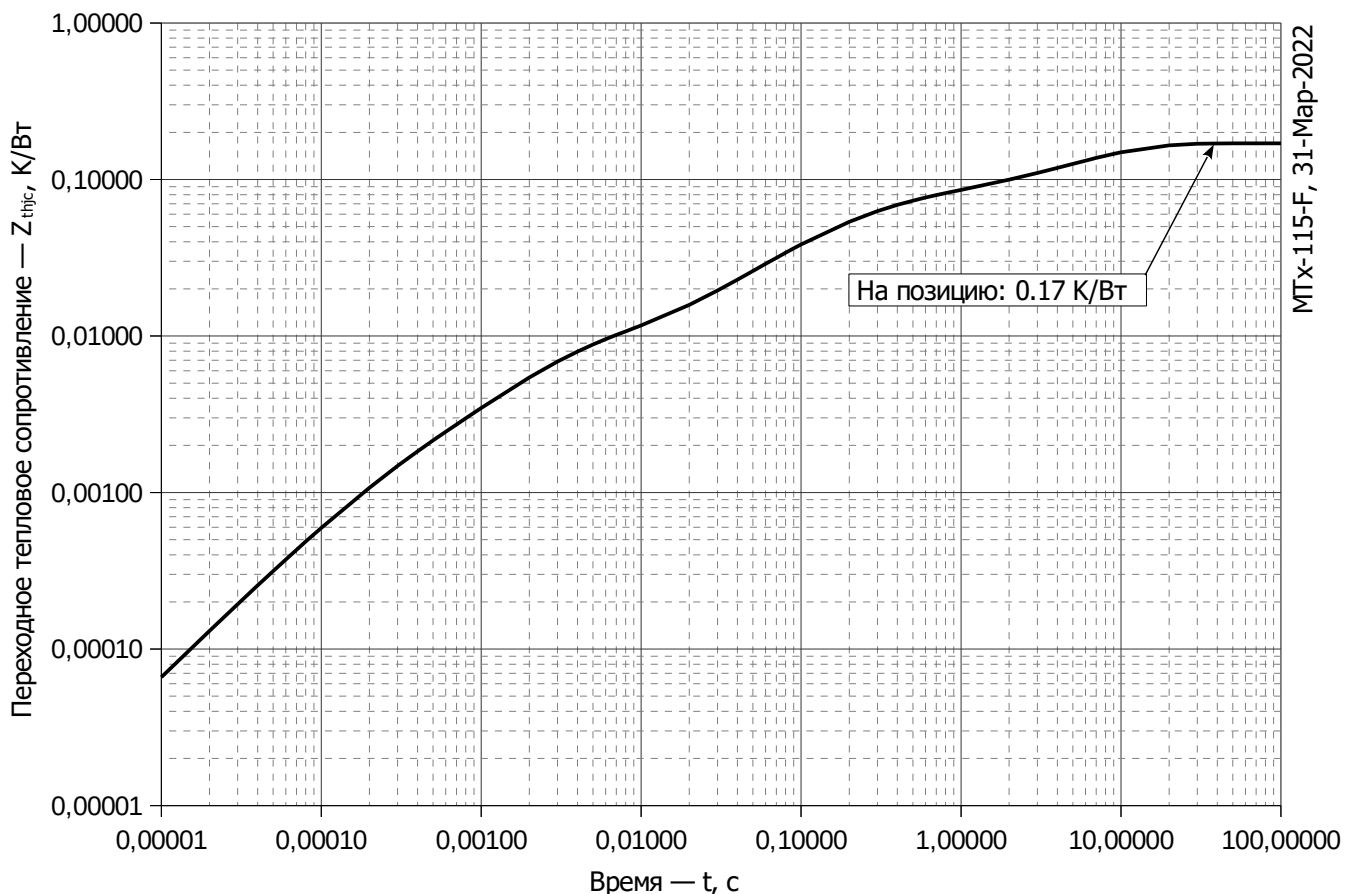
**Рис. 1 – Предельная вольт – амперная характеристика**

Аналитическая функция предельной вольт — амперной характеристики:

$$V_T = A + B \cdot i_T + C \cdot \ln(i_T + 1) + D \cdot \sqrt{i_T}$$

	Коэффициенты для графика	
	$T_j = 25^\circ\text{C}$	$T_j = T_{j\text{max}}$
<b>A</b>	1.05551609	1.04275622
<b>B</b>	0.00187338	0.00253738
<b>C</b>	-0.01178378	-0.03749362
<b>D</b>	0.01267796	0.02737256

**Модель предельной вольт – амперной характеристики (см. Рис. 1)**



**Рис. 2 – Зависимость переходного теплового сопротивления  $Z_{thjc}$  от времени  $t$**

Аналитическая зависимость переходного теплового сопротивления переход — корпус:

$$Z_{thjc} = \sum_{i=1}^n R_i \left( 1 - e^{-\frac{t}{\tau_i}} \right)$$

Где  $i = 1$  to  $n$ ,  $n$  – число суммирующихся элементов.

$t$  = продолжительность импульсного нагрева в секундах.

$Z_{thjc}$  = Тепловое сопротивление за время  $t$ .

$R_i, \tau_i$  = расчетные коэффициенты, приведенные в таблице.

$i$	1	2	3	4	5	6
$R_i, \text{К/Вт}$	0.0007228424	0.0066399867	0.0153862565	0.0389709604	0.0142906115	0.09398934
$\tau_i, \text{с}$	0.0002111	0.002366	0.06905	0.1909	0.6646	6.64

**Модель переходного теплового сопротивления переход - корпус (см. Рис. 2)**

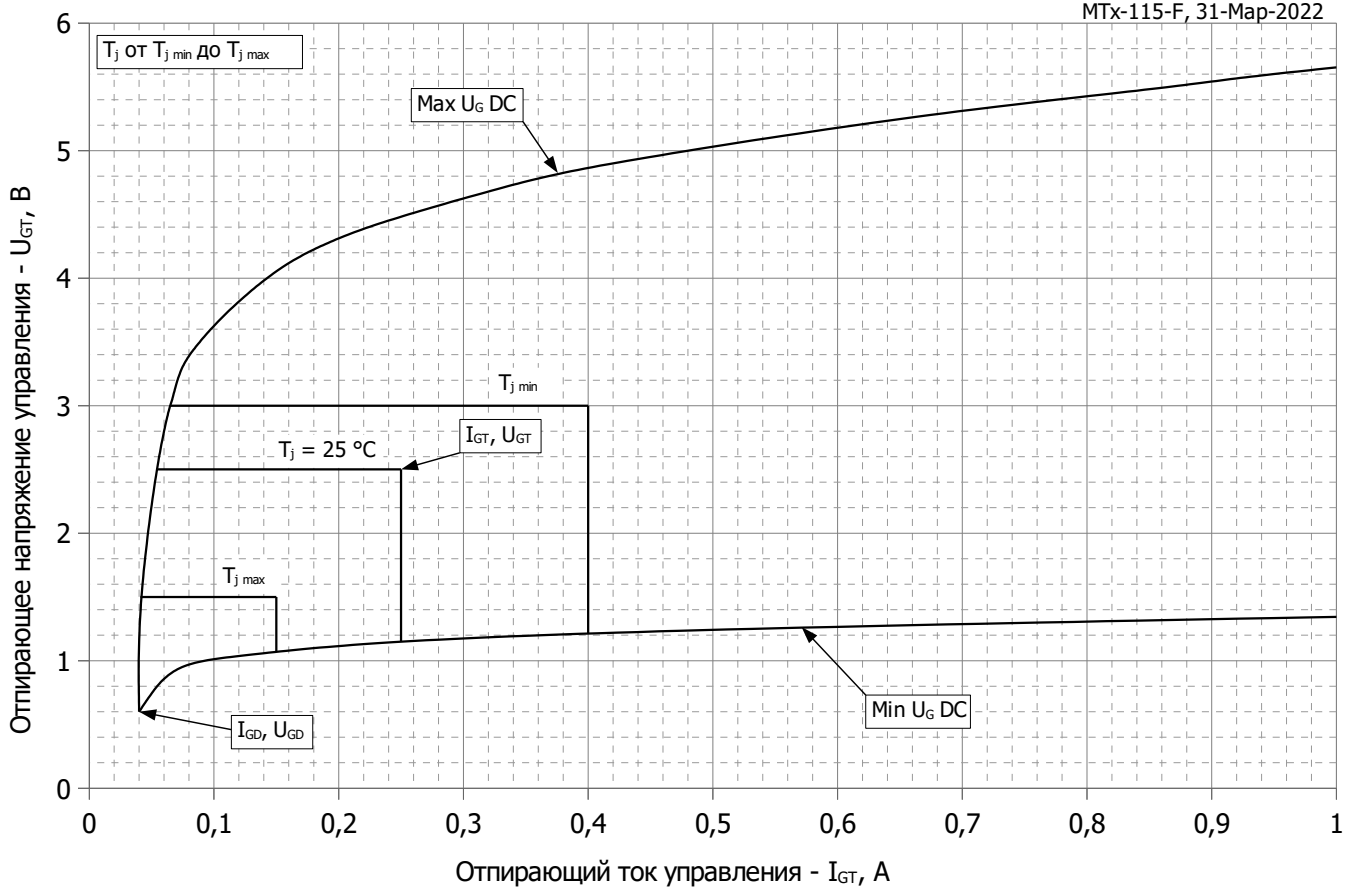


Рис. 3 – Вольт – амперная характеристика цепи управления

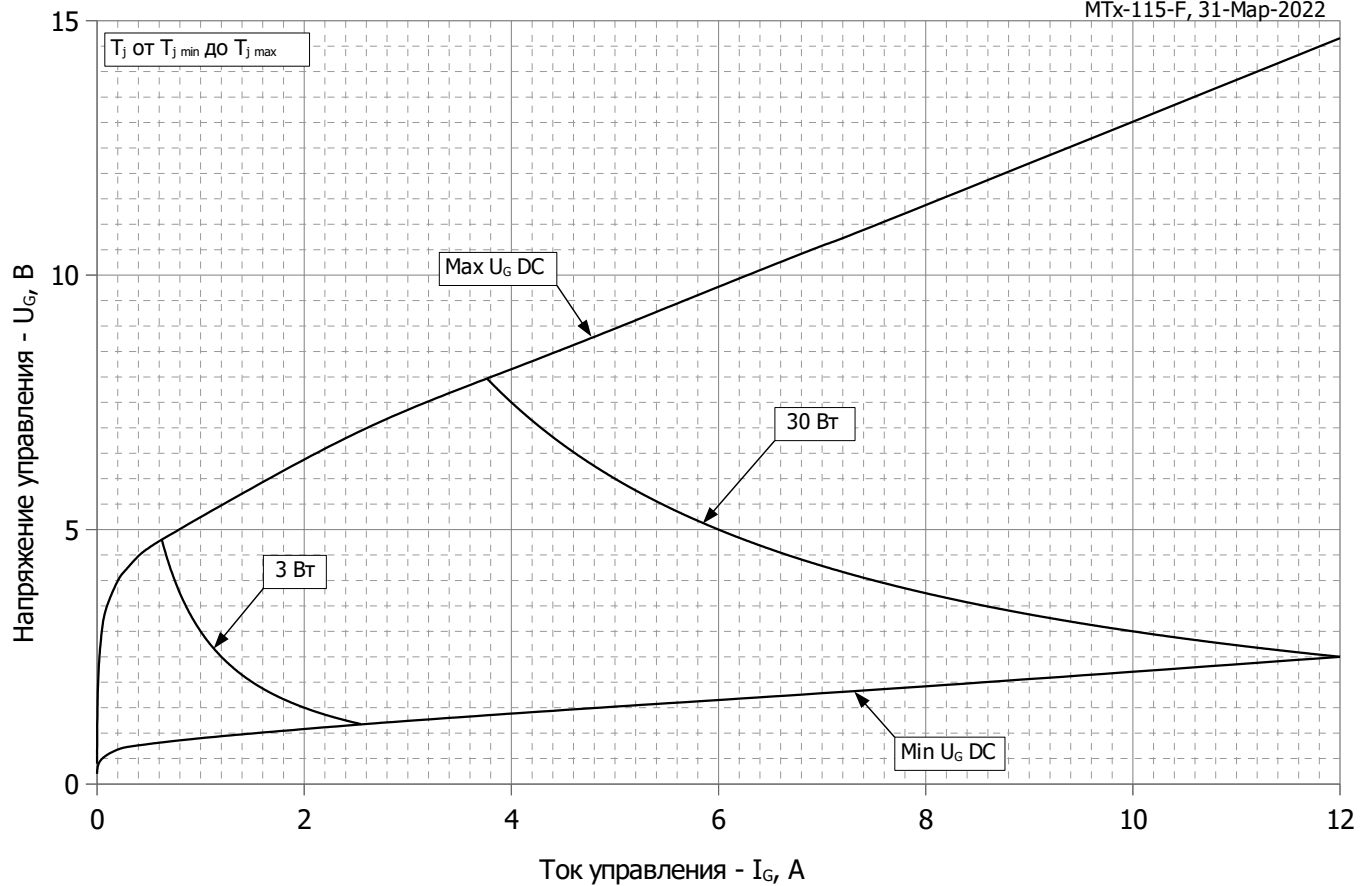
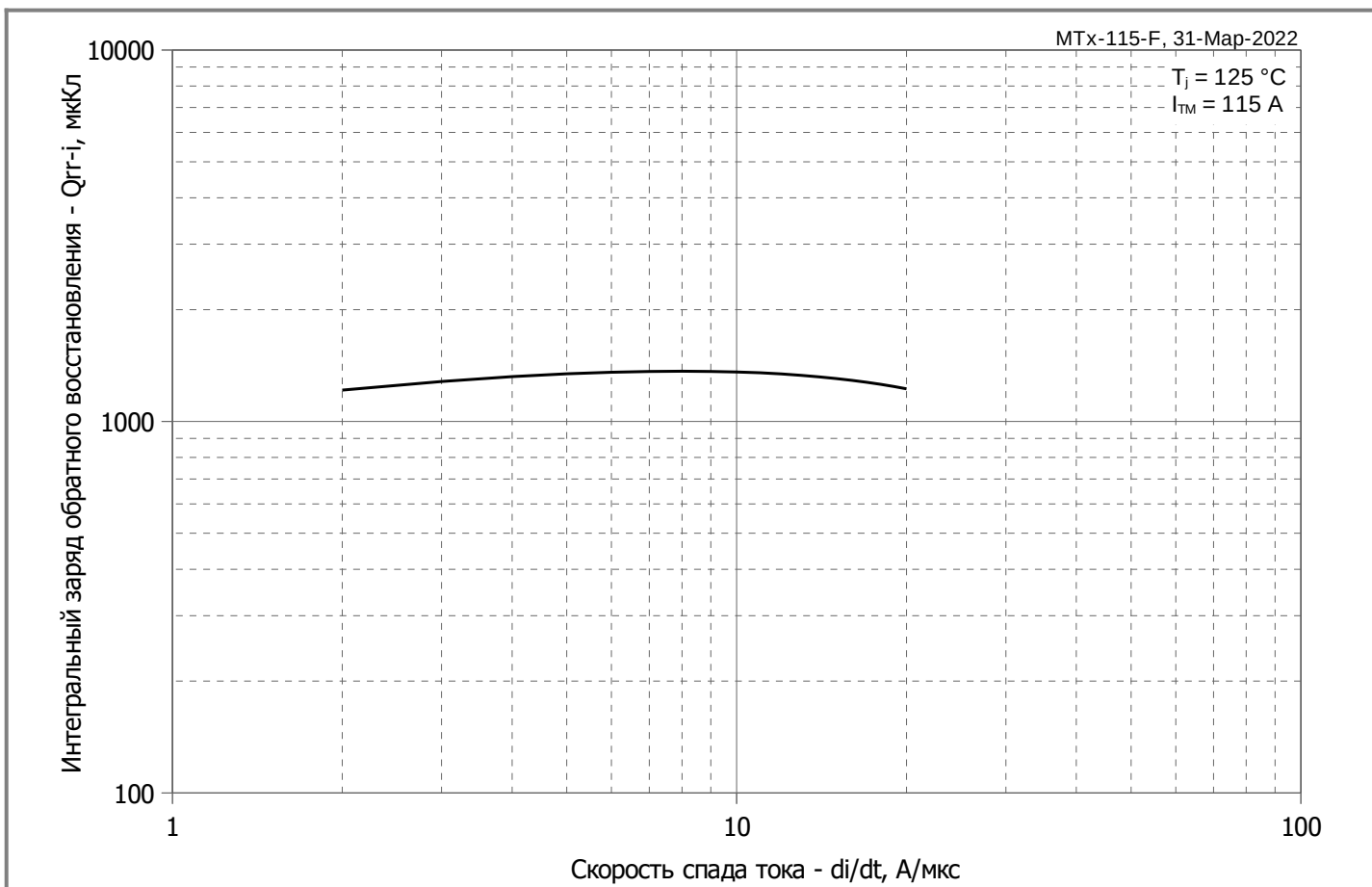
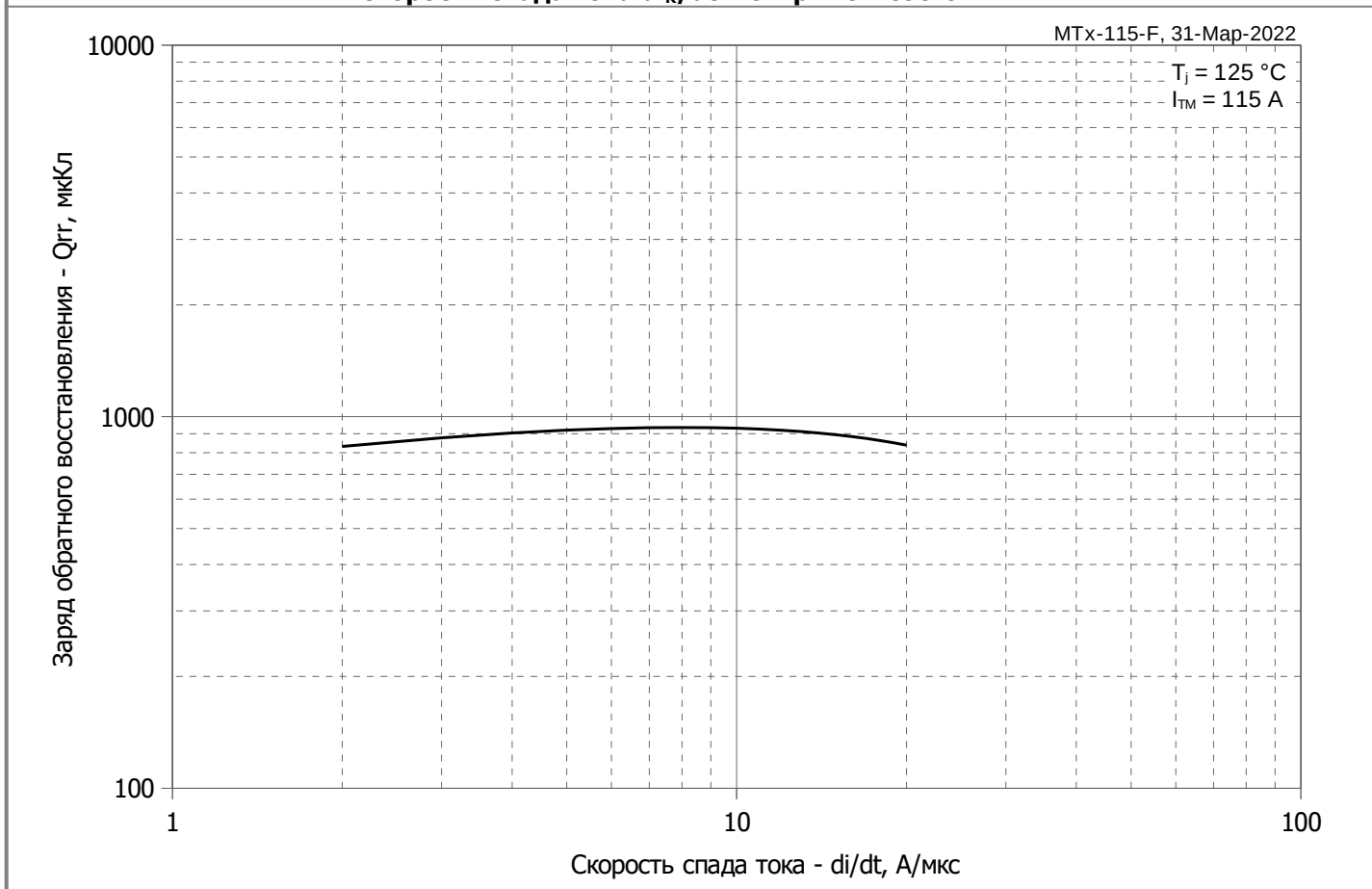


Рис. 4 – Вольт – амперная характеристика цепи управления — Кривые мощности

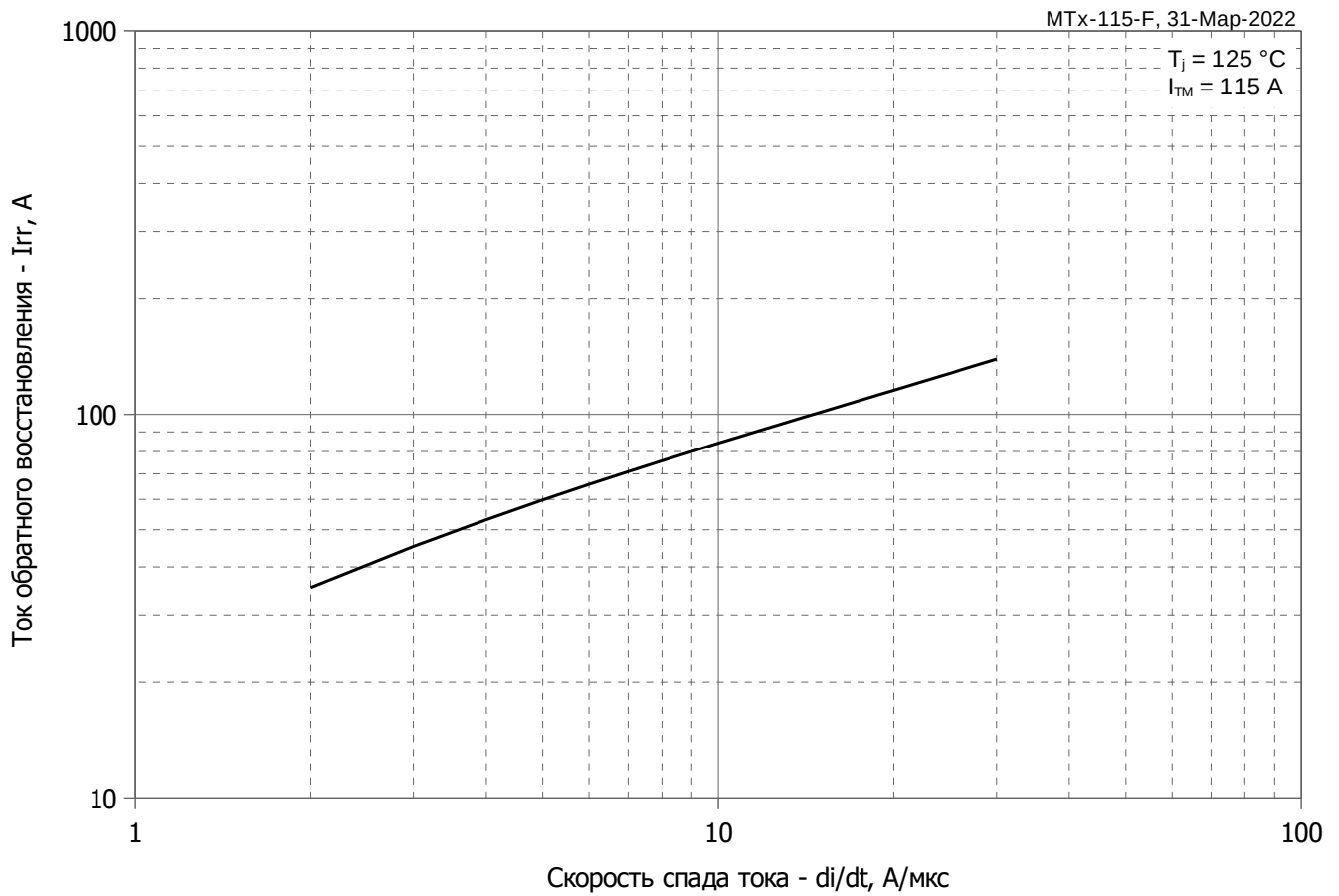


**Рис. 5 – Зависимость максимального интегрального заряда обратного восстановления  $Q_{rr-i}$  от скорости спада тока  $di_R/dt$  в открытом состоянии**

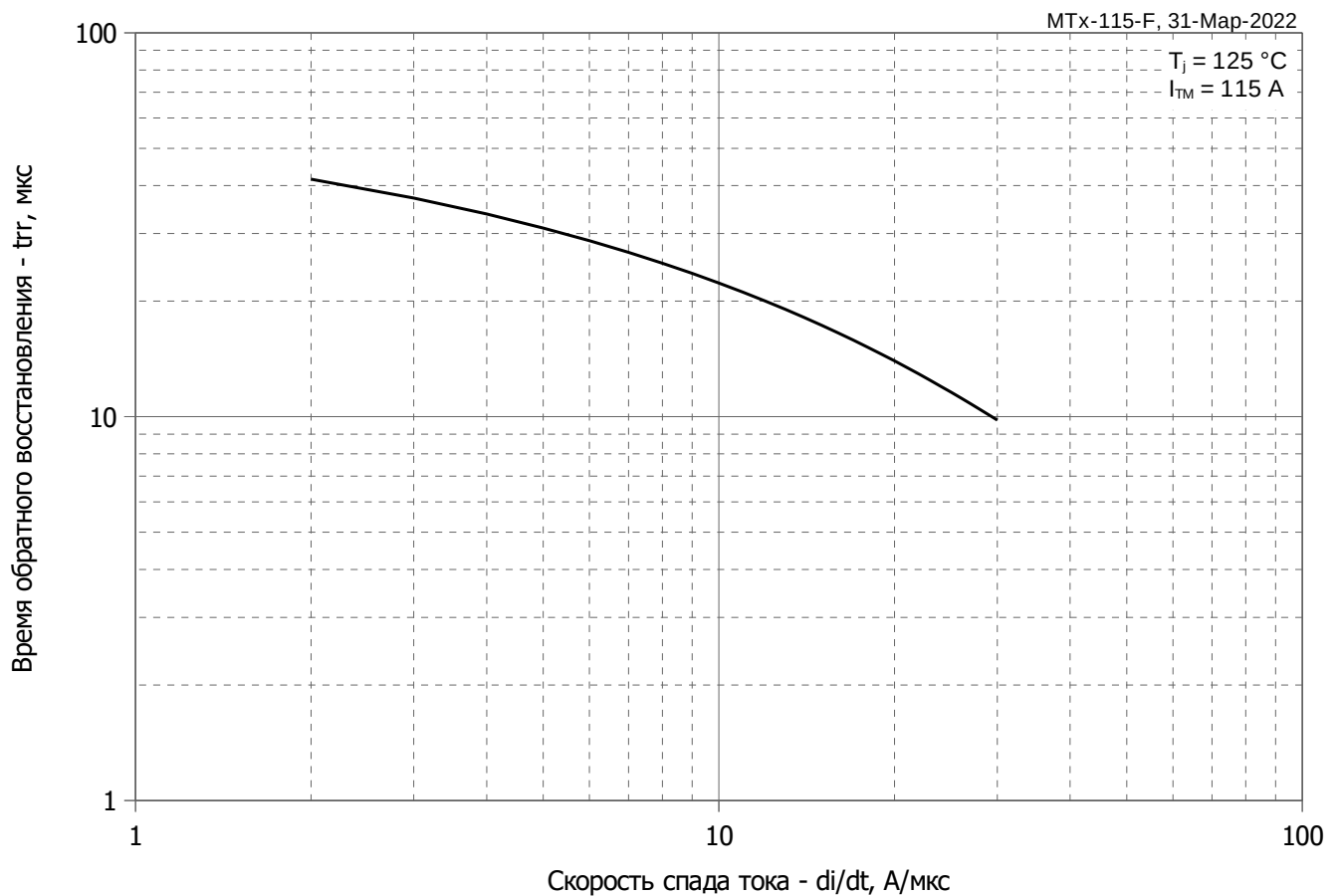


**Рис. 6 – Зависимость максимального заряда обратного восстановления  $Q_{rr}$  от скорости спада тока  $di_R/dt$  (по ГОСТ 24461, хорда 25%) в открытом состоянии**

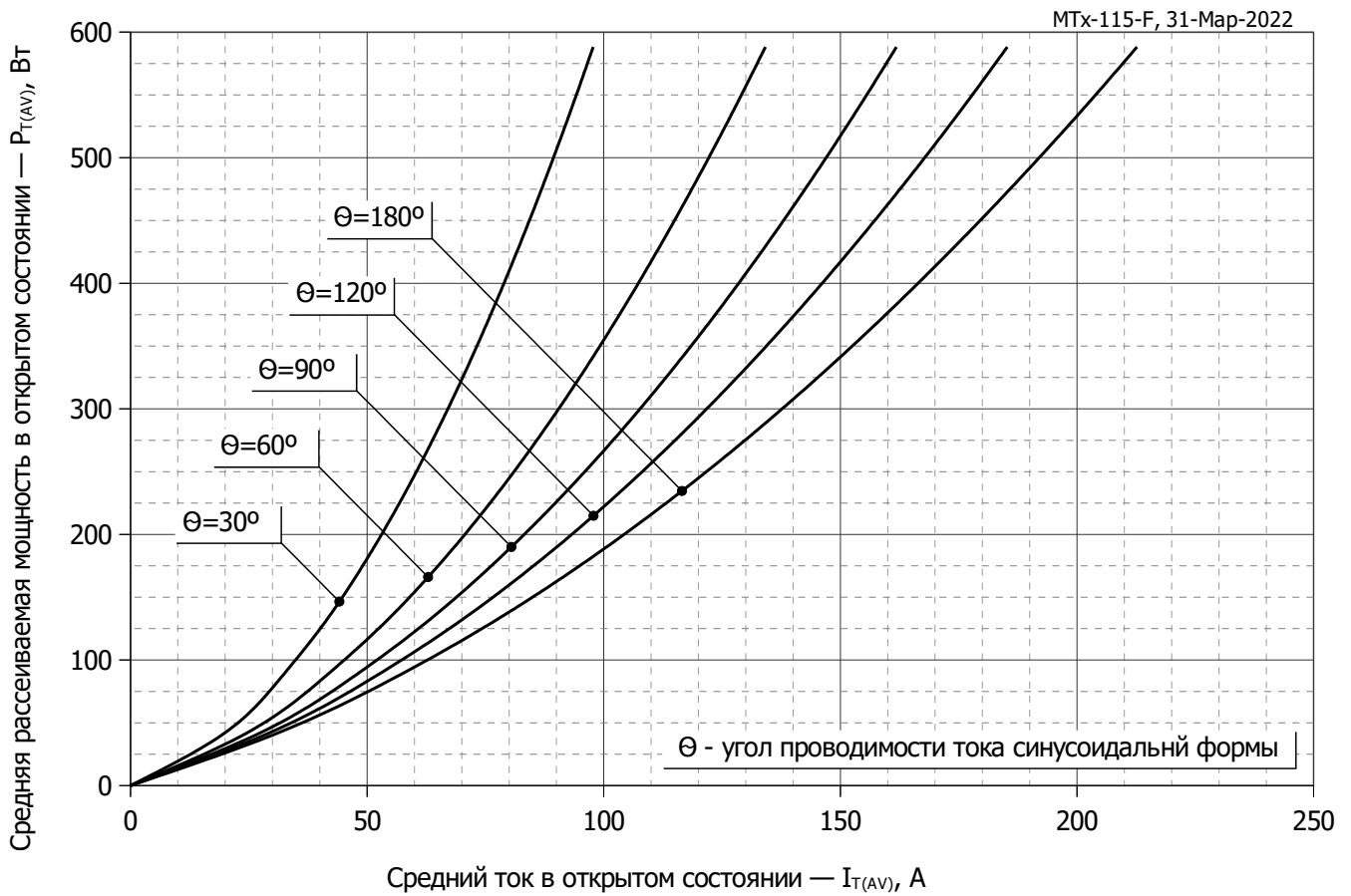




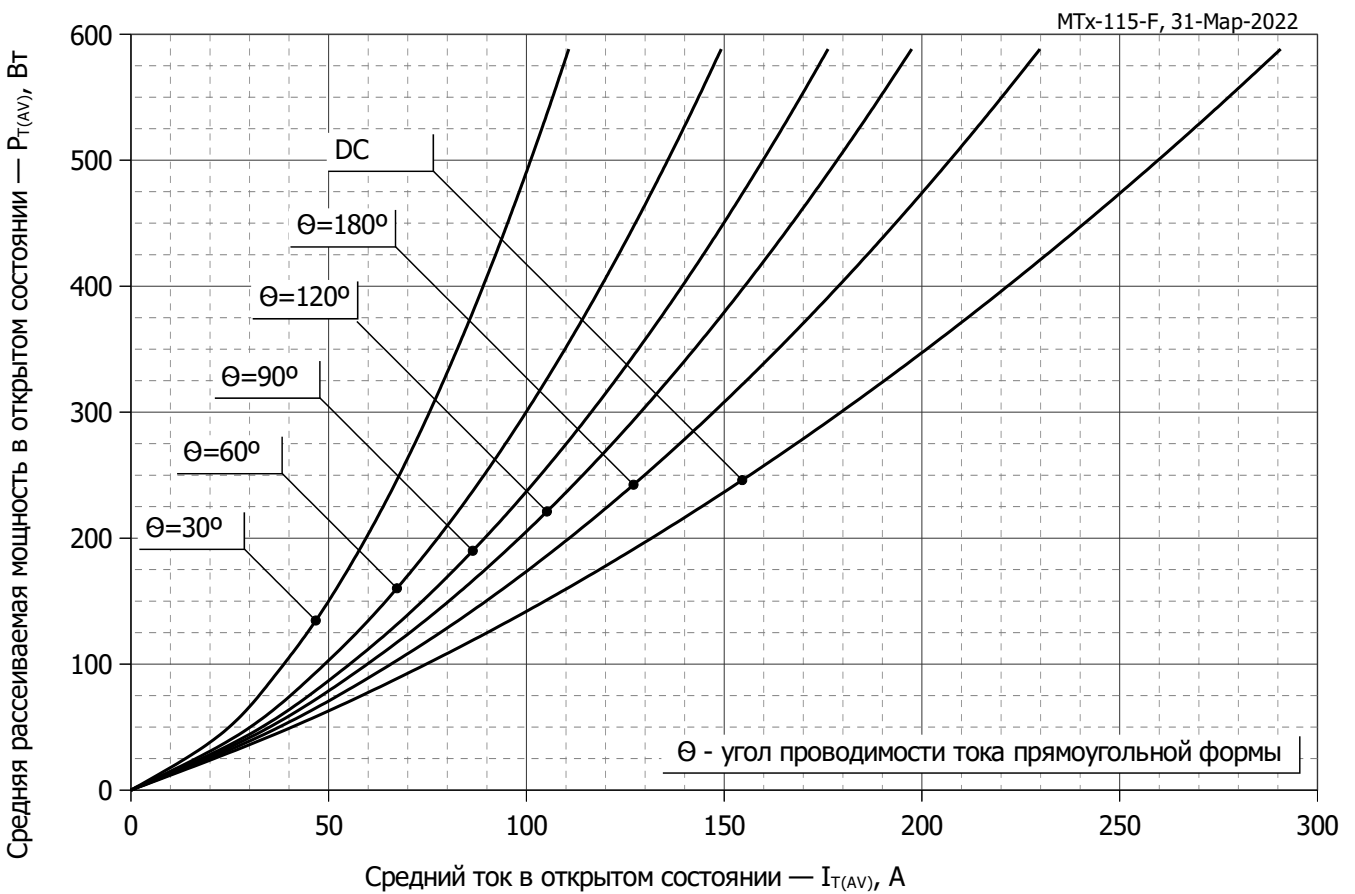
**Рис. 7 – Зависимость максимального обратного тока восстановления  $I_{rr}$  от скорости спада тока  $di_R/dt$  в открытом состоянии**



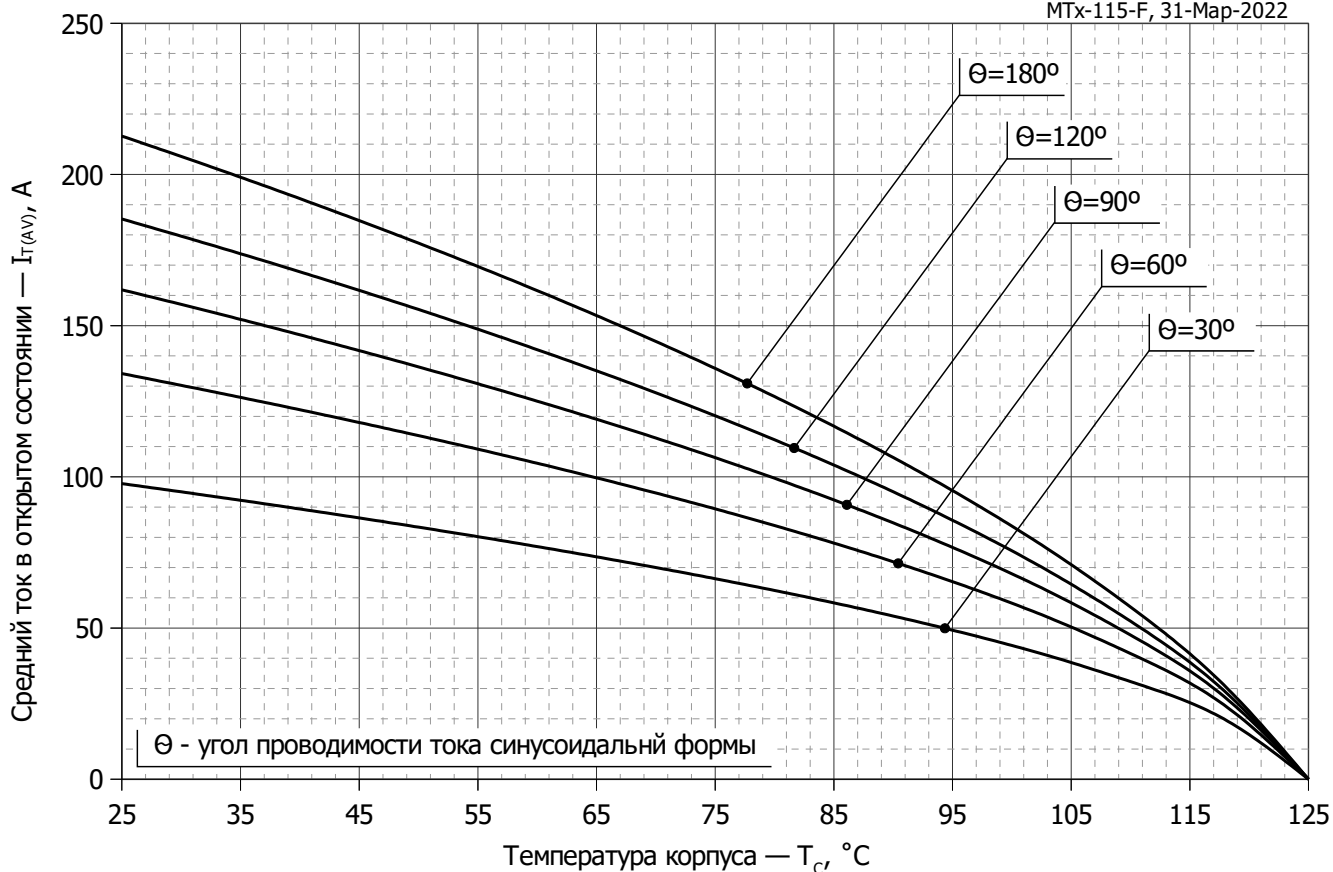
**Рис. 8 - Зависимость максимального времени обратного восстановления  $t_{rr}$  от скорости спада тока  $di_R/dt$  (по ГОСТ 24461, хорда 25%) в открытом состоянии**



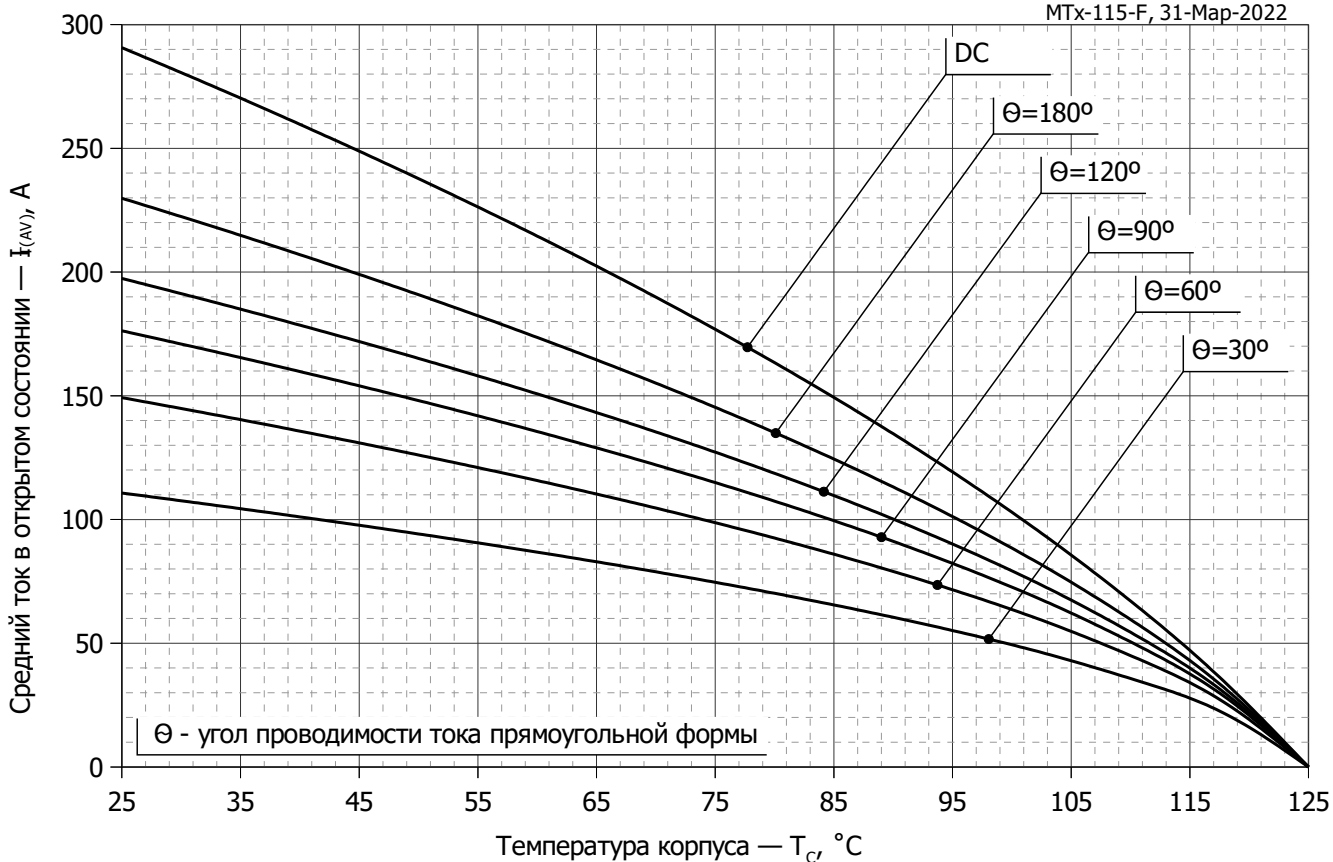
**Рис. 9 - Зависимость потерь мощности  $P_{TAV}$  от среднего тока в открытом состоянии  $I_{TAV}$  синусоидальной формы при различных углах проводимости ( $f=50$  Гц)**



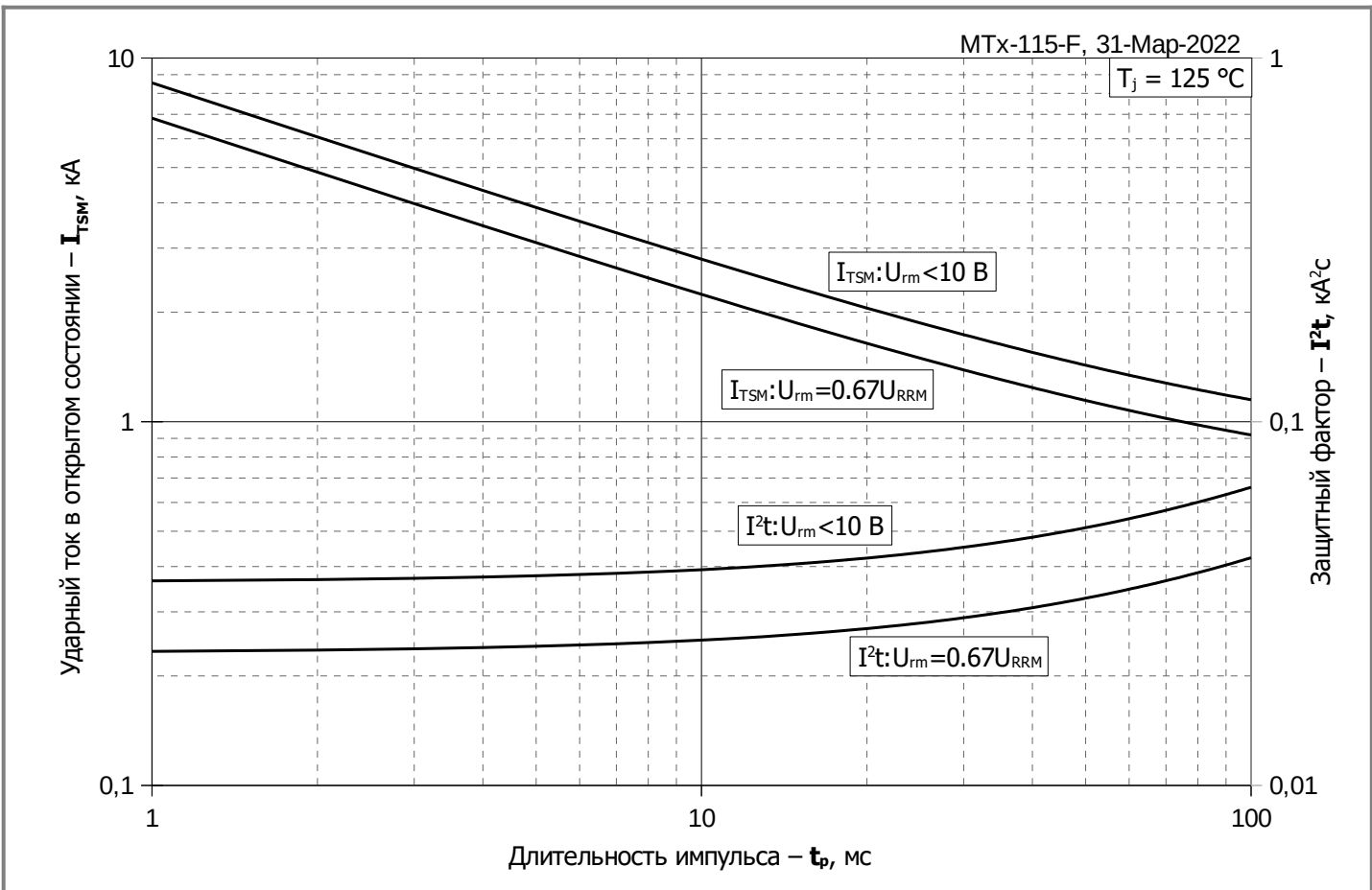
**Рис. 10 – Зависимость потерь мощности  $P_{TAV}$  от среднего тока в открытом состоянии  $I_{TAV}$  прямоугольной формы при различных углах проводимости ( $f=50$  Гц)**



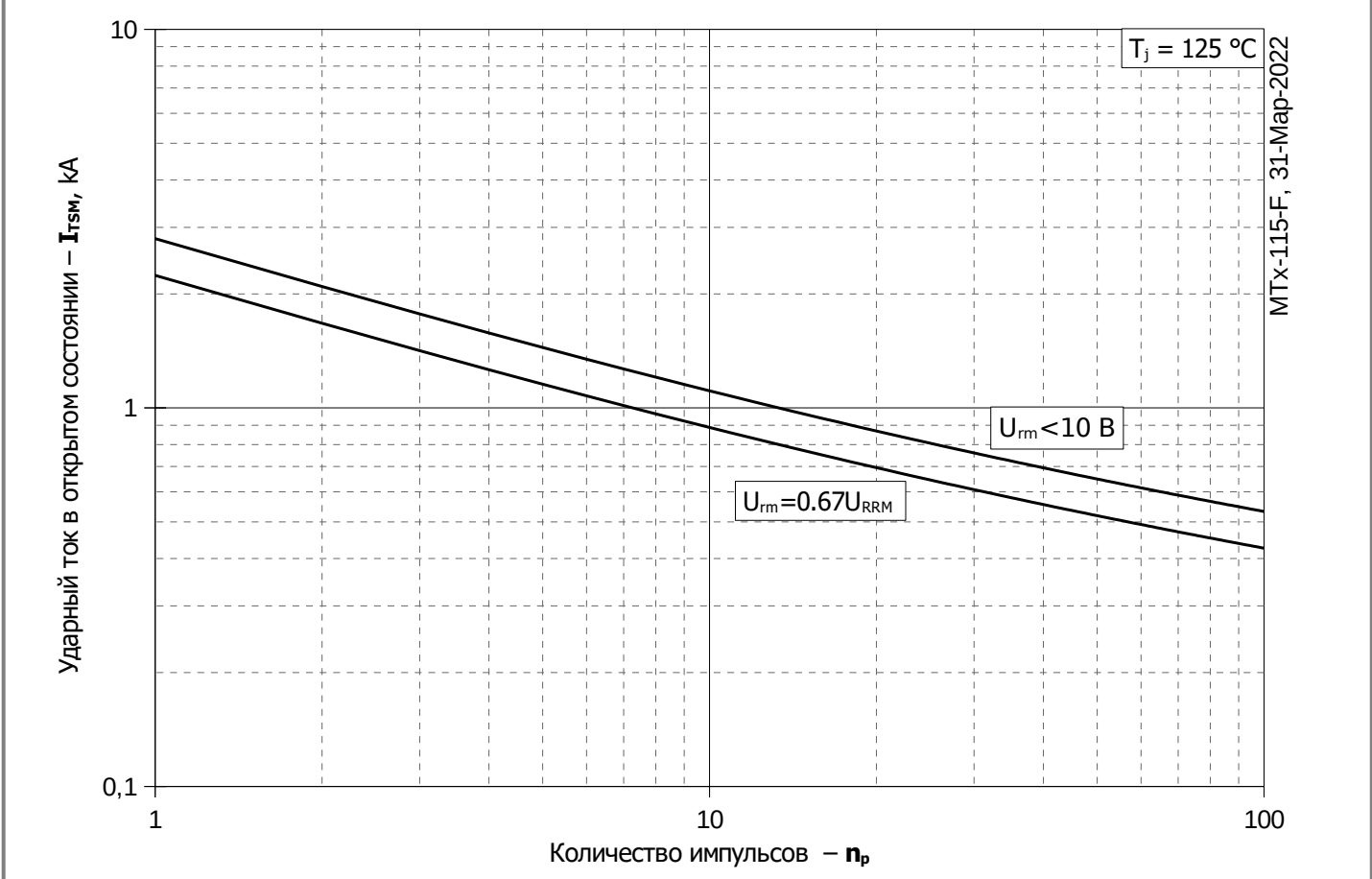
**Рис. 11 – Зависимость среднего тока в открытом состоянии  $I_{TAV}$  от температуры корпуса  $T_C$  для синусоидальной формы тока при различных углах проводимости ( $f=50$  Гц)**



**Рис. 12 - Зависимость среднего тока в открытом состоянии  $I_{TAV}$  от температуры корпуса  $T_C$  для прямоугольной формы тока при различных углах проводимости ( $f=50$  Гц)**



**Рис. 13 – Зависимость максимальной амплитуды ударного тока в открытом состоянии  $I_{TSM}$  и защитного фактора  $I^2t$  от длительности импульса  $t_p$**



**Рис. 14 – Зависимость максимальной амплитуды ударного тока в открытом состоянии  $I_{TSM}$  от количества импульсов  $n_p$**